

ارزیابی عملکرد شیارشده مخلوط آسفالتی ساخته شده با قیر اصلاح شده با بنتونیت

حسن زیاری (استاد)

رضوان باباگلی* (دانشجوی دکتری)

دانشکده مهندسی عمران، دانشگاه علم و صنعت ایران

مهمشی عمران شرف، پاییز ۱۳۹۴ (۱)، دوری ۲، شماره ۱، ص. ۱۲۳-۱۲۴، (پادشاهت فقیه)

در این مطالعه عملکرد شیارشده نمونه‌های مخلوط آسفالتی گرم ساخته شده با بنتونیت به عنوان اصلاح‌کننده قیر مورد بررسی قرار گرفته است. افزودنی بنتونیت با درصد ۱۰، ۱۵، ۲۰ و ۳۰ نسبت به وزن قیر برای اصلاح قیر مورد استفاده قرار گرفته است. جهت اختلاط بنتونیت با قیر، از مخلوط کن بر什ی استفاده شده است. در این مطالعه، عملکرد شیارشده مخلوط آسفالتی اصلاح شده از طریق آزمایش‌هایی از قبیل: مقاومت مارشال و تغییرشکل دائمی مورد ارزیابی قرار گرفته است. روش آزمایش مورد استفاده جهت این ارزیابی، آزمون خوش دینامیکی و شیار جای چخ است. نتایج نشان داده که استفاده از بنتونیت سبب بهبود مقاومت مارشال و مقاومت در برابر تغییرشکل‌های دائمی مخلوط‌های آسفالتی شده است. همچنین نمونه‌های آسفالتی مقاومت خوبی در برابر تغییرشکل‌های دائمی در آزمایش شیار چخ از خود نشان داده‌اند.

h.ziari@iust.ac.ir
rezvan_babagoli@yahoo.com

واژگان کلیدی: قیر اصلاح شده، بنتونیت، مقاومت مارشال، تغییرشکل دائمی، مخلوط آسفالتی.

۱. مقدمه

نسبت به قیر خالص دارد. همچنین با انجام آزمایش کشش مستقیم بر روی قیر خالص و قیر پیرشده و قیر حاوی نانورس مشخص شد که قیرهای اصلاح شده، مقاومت کششی بیشتری نسبت به قیرهای خالص دارند و درصد کرنش شکست آنها کمتر است. لذا پتانسیل ترک دمای پایین قیرهای خالص بهتر از قیرهای اصلاح شده است.^[۱]

در پژوهش دیگری در سال ۲۰۰۹، با انجام آزمایش‌های رئولوژیکی^۱، تأثیر دو نوع نانورس ۱۵ Nanofil و ۱۵A cloisite بر خصوصیات رئولوژیکی قیر بررسی شده است. هنگامی که قیر با مقدار کمی از نانورس اصلاح شد، خواص فیزیکی آن در شرایطی که خاک رس در سطح بسیار ریزی پراکنده شده بود، به خوبی افزایش یافت و نتایج نشان داد که اصلاح کردن قیر با نانورس باعث افزایش سختی و مقاومت پیرشده‌گی قیر می‌شود. اضافه کردن درصد کمی نانورس به قیر منجر به بهبود خصوصیات رئولوژیکی، کاهش درجه‌ی نفوذ و شکل‌پذیری و افزایش نقطه‌ی نرمی و مقاومت پیرشده‌گی قیر می‌شود. همچنین نتایج آزمایش برش دینامیکی نشان داد که مدول کل برشی (G*) با کاهش دما با افزایش بسامد افزایش می‌یابد، در حالی که زاویه‌ی فاز با افزایش دما یا کاهش بسامد افزایش می‌یابد.^[۲]

در مطالعه‌ی دیگری در سال ۲۰۰۵، تأثیر نانورس ۱۵A cloisite با انجام آزمایش‌های مکانیکی در مخلوط‌های آسفالتی مورد ارزیابی قرار گرفت و نتایج نشان داد که نانورس سبب بهبود خصوصیات مخلوط از جمله مقاومت کششی غیرمستقیم، خروجی و مقاومت خستگی شده است.^[۳]

قیر یک ماده‌ی سیاه رنگ متشکل از هیدروکربن‌های مختلف با وزن مولکولی بالاست و در مخلوط آسفالتی به دلیل نفوذناپذیری در برابر آب و داشتن خاصیت چسبندگی در سراسر جهان مورد استفاده قرار می‌گیرد. همچنین قیر یک محصول جانبی از فرآیند پالایش نفت خام در پالایشگاه‌های نفتی است، که قیمت آن روزانه در حال رشد است. به همین دلیل هر تلاشی در جهت کاهش استفاده از آن موجب صرفه‌جویی اقتصادی و همچنین بهبود شرایط زیست‌محیطی می‌شود.

الیاف در مخلوط‌های آسفالتی برای اهداف مختلفی همچون: تثیت قیر، بهبود خواص مکانیکی مخلوط، و اصلاح قیر مورد استفاده قرار می‌گیرد. فیبر، غلظت، مدول دینامیکی، حساسیت رطوبتی و مقاومت شیارشده مخلوط‌های آسفالتی را بهبود می‌بخشد.^[۴] فیبرهای زائد با وجود خاصیت بازگشت به محیط و بهبود هدایت الکتریکی می‌توانند در روسازی مورد استفاده قرار گیرند.^[۵]

در مطالعه‌یی در سال ۲۰۱۱، تأثیر دو نوع نانورس^۱ بر خصوصیات قیر مورد بررسی قرار گرفت. در آزمایش‌های تجربی مونتمور بلوبیت^۲، نانورس در ۲٪ و ۴٪ وزن قیر در دمای بالا با قیر مخلوط شد تا نانورس در قیر به خوبی پراکنده شود. با انجام آزمایش‌ها بر روی خصوصیات رئولوژیکی قیر مشخص شد قیرهای اصلاح شده با نانورس، مدول کل برشی بیشتر و زاویه‌ی فاز کمتر دارند که منجر به تولید قیرکشسان‌تر و سخت‌تر می‌شود. بنابراین قیر اصلاح شده با نانورس، مقاومت شیارشده بیشتری

* نویسنده مسئول

تاریخ: دریافت ۸/۳/۱۳۹۲، اصلاحیه ۳۰، پذیرش ۱۰/۱۳۹۲.

به قیر حاوی لاستیک باعث کاهش درجه نفوذ قیر شد و نقطه‌ی نرمی قیر حاوی لاستیک افزایش یافت. هر چه میزان درجه نفوذ قیر کمتر باشد، آسفالت تهیه شده از آن مقاومت باربری بیشتری دارد و هرچه نقطه‌ی نرمی قیر بیشتر باشد، قیر در دمای بالاتر کارایی خود را حفظ می‌کند. همچنین با افزایش مقادیر بتونیت، مقادیر حساسیت حرارتی کاهش و شاخص نفوذ قیر افزایش می‌باید.^[۱۲]

۲. روش پژوهش

روش انجام پژوهش شامل: انتخاب مصالح، ساخت نمونه‌های قیر با درصد های مختلف افزودنی، انجام آزمایش‌های فیزیکی قیر، ساخت نمونه‌های آسفالت با درصد های مختلف افزودنی، و در نهایت انجام آزمایش‌های مارشال، خوش دینامیکی و شیار جای چرخ بر روی نمونه‌های شاهد و نمونه‌های حاوی افزودنی بوده است.

۲.۱. مصالح سنگی و قیر

در این پژوهش از سنگ شکسته‌ی کوهی معدن اسب چران رودهن با دانه‌بندی شماره‌ی ۴ آئین نامه روسازی آسفالتی و همچنین ۵٪ فیلر پوروسیک استفاده شده است. خصوصیات مصالح سنگی مورد استفاده در جدول ۱ آمده است. قیر به کار گرفته شده در این پژوهش از نوع قیر خالص ۶۰/۷۰ بوده است که از شرکت نفت پاسارگاد تهیه شده و مشخصات فیزیکی آن در جدول ۲ آمده است. افزودنی به کار گرفته شده نیز بتونیت سدیم دار^۸ بود که مشخصات فیزیکی و هندسی آن در جدول های ۳ و ۴ آمده است. ترکیب قیر و بتونیت در دمای ۱۴۰ درجه سانتی گراد با سرعت ۴۰۰۰ دور در دقیقه انجام شده است.

۲.۲. روش ساخت نمونه‌های آزمایشگاهی

در این پژوهش برای تهیه درصد قیر بهینه ابتدا ۱۸ نمونه مخلوط آسفالتی با درصد های ۴، ۴/۵، ۵، ۶ و ۶/۵٪ با قیر بدون افزودنی ساخته شده و پس از انجام آزمایش‌های مارشال، درصد قیر بهینه تعیین شده است. برای تهیه نمونه‌های حاوی افزودنی، ابتدا مصالح سنگی تا دمای ۱۷۰ درجه سانتی گراد و سپس قیرهای با درصد های مختلف بتونیت شامل ۱۰، ۱۵، ۲۰ و ۳۰ تا دمای ۱۴۰ درجه سانتی گراد گرم و به ازاء هر درصد، ۳ نمونه تهیه شد. سپس مخلوط حاصل تحت روش تراکم مارشال با ۷۵ ضربه متراکم شد. بعد از آن نیز نمونه‌ها به مدت ۲ ساعت، در دمای آزمایشگاه قرار داده شدند تا سرد شوند. پس از سرد شدن، نمونه‌ها از قالب خارج شدند و آزمایش‌های چگالی^۹، پایداری^{۱۰} و روانی^{۱۱}،^[۱۳] بر روی آنها انجام شد و نتایج با نمونه‌های شاهد مقایسه شدند.^[۱۴] زمانی که افزودنی‌های مذکور به قیر اضافه می‌شود، خصوصیات قیر از جمله درجه نفوذ، درجه نرمی و شکل بذیری تغییر می‌کند و این خصوصیات اثر مستقیمی در خواص مخلوط‌های آسفالتی دارند. به منظور مقایسه‌ی حساسیت قیرها نسبت به تغییرات درجه حرارت و تعیین سختی نسبی قیرهای خالص، آزمایش‌های مذکور بر روی قیر خالص نیز انجام می‌شود. بدین منظور نمونه‌های قیر با درصد نسبت وزنی افزودنی بتونیت به قیر ۱۵، ۱۰، ۲۵، ۲۰ و ۳۰ تهیه و آزمایش‌های درجه نفوذ، نقطه نرمی و شکل بذیری انجام و با نمونه‌ی شاهد مقایسه شدند، که نتایج آن در شکل های ۱ الی ۴ ارائه شده است. برای ارزیابی تأثیر افزودنی‌ها در عملکرد شیارشده‌ی مخلوط‌های آسفالتی گرم، آزمایش‌های مارشال، خوش دینامیکی و شیار جای چرخ بر روی انواع مخلوط‌های ساخته شده انجام شده است.

در مطالعه‌ی دیگری نیز (۲۰۱۰) خصوصیات رئولوژیکی، مکانیکی و فیزیکی قیر حاوی پلیمر SBS قبل و بعد از اضافه شدن نافورس بر قیر برسی شد و نتایج نشان داد که حضور نافورس باعث بهبود قابل توجهی در مقاومت قیر پلیمری می‌شود، بدون اینکه اثر سوئی بر دیگر خصوصیات آن داشته باشد. با اضافه کردن نافورس، نقطه‌ی نرمی، غلظت و شاخص نفوذ افزایش و درجه‌ی نفوذ کاهش یافته است. بنابراین نافورس می‌تواند خصوصیات کارایی بالای قیر پلیمری را افزایش دهد. همچنین مشخص شد با اضافه شدن نافورس مدول کل برشی افزایش و زاویه‌ی فاز کاهش می‌باید، که بر این اساس مقاومت شیارشده‌ی قیر افزایش می‌باید.^[۱۵]

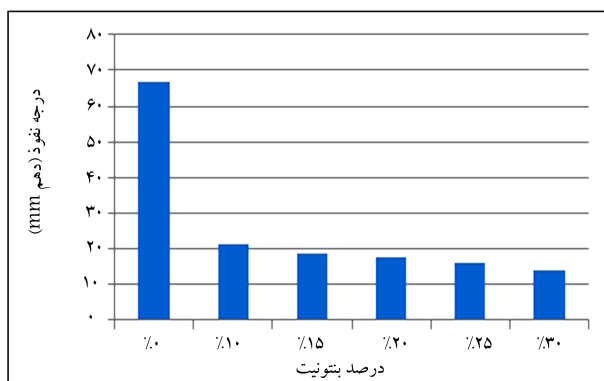
همچنین در مطالعه‌یی که در سال ۲۰۱۰ انجام شد، قیر ۷۰-۶۵٪ با درصد های مختلف بتونیت (۱، ۵، ۲، ۴ و ۶) مورد برسی و آزمایش قرار گرفت. با برسی نقطه‌ی نرمی مشخص شد که قیر اصلاح شده با بتونیت و بتونیت اصلاح شده‌ی آلی^{۱۶}، نقطه‌ی نرمی بیشتری دارد. همچنین با انجام آزمایش غلظت مشخص شد که غلظت قیر حاصل افزایش یافته است که علت آن افزایش فاز جامد رس به فاز غلظت قیر است. با انجام آزمایش شکل بذیری مشخص شد که شکل بذیری قیر با افزایش بتونیت و بتونیت آلی اصلاح شده کاهش یافته است. علت این تغییر افزایش فاز جامد شکننده‌ی رس به فاز ارتجاعی لرج شکل بذیری قرار گرفت. همچنین برسی تغییرات مدول کمپلکس (G*) در برای دما برای قیر اصلاح شده با بتونیت و بتونیت آلی اصلاح شده نشان داد که مدول کمپلکس که شامل مدول کشسان و مدول غلظت است، با افزایش دما کاهش یافته است. تغییرات زاویه‌ی فاز (θ) نسبت به دما برای قیر اصلاح شده با بتونیت و بتونیت آلی اصلاح شده نیز مورد آزمایش قرار گرفت. زاویه‌ی فاز به صورت اختلاف فاز بین تش و کرنش در آزمایش نوسانی تعریف می‌شود. (θ) بیشتر نشان دهنده‌ی رفتار غلظت بیشتر و (δ) کمتر نشان دهنده‌ی خاصیت کشسان بیشتر است. نتیج حاکی از آن بود که افزایش مواد افزودنی باعث افزایش زاویه‌ی فاز (θ) شده است. با استفاده از آزمون رئومتر ترپه خشمی^۵ در دمای ۱۲ درجه‌ی سانتی گراد، سختی خمشی برای قیر معمولی و اصلاح شده بعد از پیرشده کی توسط آزمایش لعب نازک چرخشی^۶ و آزمایش محفظه‌ی تحریج پیری^۷ محاسبه شد و نتایج نشان داد که افزودن بتونیت و بتونیت آلی اصلاح شده باعث کاهش سختی نسبت به نمونه بدون افزودنی می‌شود و همچنین باعث مقاومت بیشتر در برابر ترک‌های دمای پایین است. کمتر بودن سختی خمشی قیر پیرشده‌ی اصلاح شده نسبت به نمونه بدون افزودنی نشان دهنده‌ی این است که صفحات رسی در شبکه‌ی قیر از اکسیداسیون مولکول‌ها و تبخیر روغن‌های سبک جلوگیری می‌کند.^[۷]

پژوهشگرانی نیز در پژوهش خود (۲۰۰۹) از مونتموروبونیت و مونتموروبونیت آلی اصلاح شده برای اصلاح قیر استفاده کردند. آنها خصوصیات فیزیکی، رفتارهای رئولوژیکی دینامیکی و پایداری در دمای بالای قیر اصلاح شده را برسی کردند و نشان دادند که اضافه کردن مونتموروبونیت و مونتموروبونیت آلی اصلاح شده باعث افزایش مقاومت شیارشده‌ی و پایداری می‌شود. آنها همچنین در مطالعه‌ی دیگری اثر مونتموروبونیت را بر روی دمای اکسیداسیون و مشخصات پیرشده‌ی قیر برسی کردند.^[۸] مطالعه‌ی دیگری نیز (۱۹۹۳) در زمینه‌ی استفاده از نافورس و نانو ذرات سیلیکاتی لایی به عنوان فیلر انجام شده است.^[۹] در مطالعاتی نیز نشان داده شده است که نانو کامپوزیت‌های سیلیکاتی پلیمری در مقایسه با آسفالت پلیمری خالص، سبب افزایش قابل توجهی در خصوصیات عملکردی و حرارتی مخلوط آسفالتی شده است.^[۱۰-۱۱]

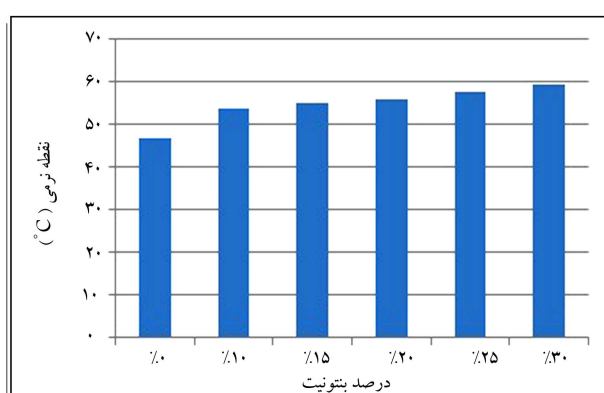
همچنین در سال ۱۳۸۷ ۱۳٪ تأثیر مقادیر مختلف ماده معدنی بتونیت بر روی خواص قیر حاوی ۱۶٪ پودر لاستیک مورد ارزیابی قرار گرفت. در این مطالعه از بتونیت با درصد های ۱/۵، ۳، ۵ و ۶ نسبت به وزن قیر استفاده شد. افزودن بتونیت

جدول ۱. خصوصیات مصالح سنگی مورد استفاده.

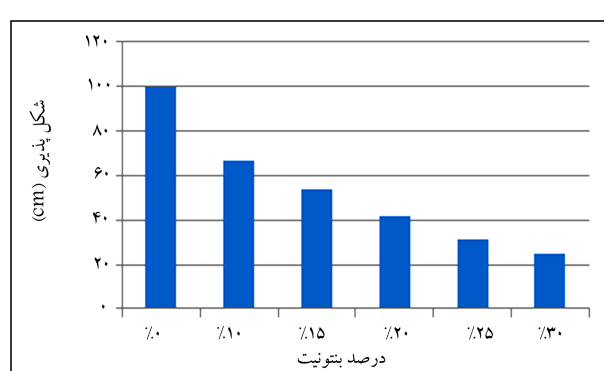
استاندارد آزمایش		حدود مجاز طبق نشریه ۲۳۴		نتایج آزمایش	شرح
ASTM	AASHTO	رویه	آستر		
—	T96	۳۰	۴۰	۲۲/۳	بیشینه‌ی سایش به روش لس آنجلس (درصد)
—	—	۲۵	۳۰	۹	بیشینه‌ی ضربت تورق با روش BS۸۱۲ (درصد)
D5821	—	۹۰	۸۰	۹۴	کمینه‌ی درصد شکستگی در دو وجه روی الک ۴
—	T85	۲/۵	۲/۵	۲/۲	بیشینه‌ی درصد جذب آب (مصالح درشت‌دانه)
—	T84	۲/۵	۲/۸	۲/۴	بیشینه‌ی درصد جذب آب (مصالح ریزدانه)



شکل ۱. مقایسه‌ی تأثیر افزودنی بتنوئیت در درجه‌ی نفوذ قیر.



شکل ۲. مقایسه‌ی تأثیر افزودنی بتنوئیت در نقطه‌ی نرمی قیر.



شکل ۳. مقایسه‌ی تأثیر افزودنی بتنوئیت در شکل‌پذیری قیر (Ductility).

جدول ۲. مشخصات فیزیکی قیر.

نوع آزمایش	استاندارد	نتیجه‌ی آزمایش
نقطه‌ی نرمی	ASTM D۳۶	۴۷ درجه سانتی‌گراد
درجه نفوذ در دمای ۲۵ درجه	ASTM D۵	۶۷ دسی میلی‌متر
درجه اشتعال	ASTM D۹۲	۳۰ درجه سانتی‌گراد
شکل‌پذیری در دمای ۲۵ سانتی‌متر	ASTM D۱۱۳	بیش از ۱۰۰ سانتی‌متر
چگالی	ASTM D۷۰	۱/۰ ۴۵ gr/cm³
افت حرارتی	ASTM D۶	٪۰/۰۵
قابلیت حل	ASTM D۴	٪۹۹/۵

جدول ۳. مشخصات فیزیکی و هندسی بتنوئیت.

نوع آزمایش	استاندارد	مقادیر اندازه‌گیری شده
وزن مخصوص	ASTM C۱۶۸	۵/۲ gr/cm³
درصد رطوبت	ASTM D۲۲۱۶	٪۶-۱۰
وزن مولکولی		۱/۱۰ gr
نقطه‌ی جوش		۴۰ درجه سانتی‌گراد
نقطه‌ی ذوب		۱۴۳ درجه سانتی‌گراد
نوع کریستالی لایه لایه		کریستالی لایه لایه
رنگ		جامد کرم
جذب آب		٪۶۰

** براساس اطلاعات شرکت درین کاشان.

جدول ۴. دانه‌بندی بتنوئیت.

مانده مانده روی الک (%)	مانده مانده روی الک (%)	مقدار ماده‌ی mesh
۳۲۵	۲۰۰	۱۰۰
۲۰	۲/۵	۲

در صدھای مختلف بتنویت افزایش یافته است. بتنویت به دلیل داشتن درصد بالای سیلیس (بالای ۷۰٪) در ترکیب خود و همچنین پخش شدن مناسب در فاز قیر باعث سخت شدن قیر می شود. در نتیجه قیر حاصل دیرتر نرم می شود، لذا درجهی نفوذ آن کم می شود. هرچه میزان درجهی نفوذ قیر کمتر باشد، آسفالت تهیه شده از آن باربیستری را تحمل می کند و هرچه نقطهی نرمی قیر بیشتر باشد، قیر در دمای بالاتری کارایی خود را حفظ می کند.

۲.۴. تحلیل نتایج آزمایش های مخلوط آسفالتی

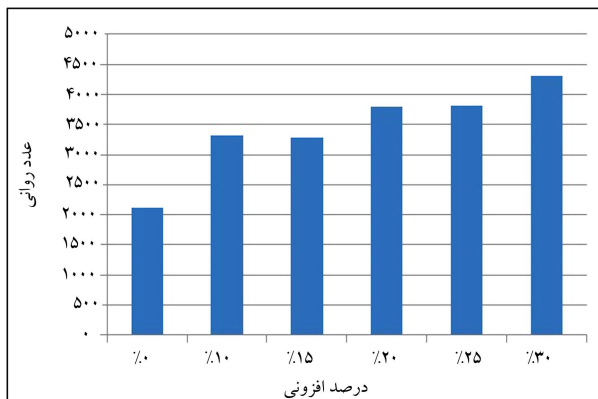
۱.۲.۴. مقاومت مارشال

نتایج مقاومت مارشال و روانی نمونه ها در جدول ۵ آمده است. همان طور که قبل از گفته شده است، سه نمونه برای هر درصد افزودنی ساخته شده است و اعدادی که در جدول مذکور ارائه شده اند، میانگین سه نمونه است. همان طور که مشاهده می شود، مقاومت مارشال نمونه ها با افزایش درصد بتنویت افزایش یافته است. به نظر می رسد که افزودن بتنویت سختی قیر را افزایش می دهد، به طوری که مخلوط های حاوی بتنویت مقاومت مارشال بالاتری را نسبت به نمونه های خالص دارند. مقدار مقاومت مارشال با اضافه کردن ۲۰٪ بتنویت روند افزایشی داشته اند و بعد از این درصد افزودنی بتنویت، مقاومت مارشال کاهش می بادد که به علت تأثیر بتنویت در غلاظت قیر است؛ چرا که پوشش قیر بر دانه ها سخت تر می شود، لذا مقاومت آن کاهش می باید.

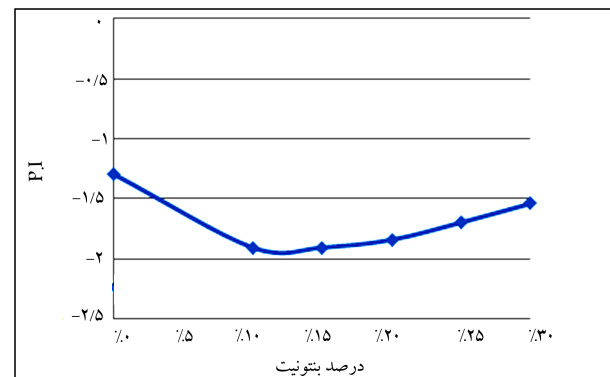
همان طور که مشاهده می شود، نمونهی حاوی ۲۰٪ بتنویت دارای بیشترین مقدار نسبت مقاومت مارشال به میزان روانی است. به خوبی تشخیص داده می شود که نسبت مقاومت مارشال به روانی، معیاری از مقاومت نمونه ها در برابر تنش برشی، تعییر شکل دائمی و شیارشکلی است.^[۱۵]

۲.۴. آزمایش خزش دینامیکی

شیارشکلی یکی از خراپی های رایج در روسازی های آسفالتی است و به تعییر شکل های دائمی گفته می شود که به صورت شیار فورفتہ در مسیر چرخ و سائط نهایی به موازات محور طولی راه دیده می شود.^[۱۶] لذا در این مطالعه شیارشکلی نمونه ها مورد ارزیابی قرار گرفته است. برای بررسی شیارشکلی نمونه ها از آزمایش خزش دینامیکی استفاده شده است. آزمایش خزش دینامیکی یکی از معیارهای مقاومت مخلوط آسفالتی در برابر تغییر شکل های دائمی است. آزمایش خزش دینامیکی مطابق شکل ۵، نمونه های بدون افزودنی، کمترین عدد روانی و در نتیجه مقاومت پایین را در برابر تعییر شکل های دائم دارند.



شکل ۵. نمودار نتایج آزمایش خزش دینامیکی نمونه ها در دمای ۵۰°C.



شکل ۴. مقایسهی تأثیر افزودنی بتنویت در نشانهی درجهی نفوذ قیر.

۳. روش کار آزمایش

۱.۳. خزش دینامیکی

جهت بررسی شیارشکلی نمونه ها از آزمایش خزش دینامیکی استفاده شده است. آزمایش خزش دینامیکی یکی از معیارهای مقاومت مخلوط آسفالتی در تعییر شکل های دائم است. آزمایش با استفاده از دستگاه UTM-5GP^[۱۲] در دمای ۵۰ درجه سانتی گراد و تحت تنش ثابت ۴۵۰ کیلوپاسکال، که به صورت شبیه سینیوسی اعمال شد، انجام گرفت. در این آزمایش یک تنش ثابت در دمای ثابت با مدت بارگذاری ۱۰ ثانیه و زمان استراحت ۹۰ ثانیه، توسط یک صفحهی صلب به صورت عمودی به نمونه وارد شد. نتایج آزمایش بر حسب عدد روانی برداشت شد که معیاری برای نشان دادن مقاومت مخلوط در برابر تعییر شکل های دائمی است، یعنی هر قدر عدد روانی بزرگ تر باشد، مقاومت نمونه در برابر تعییر شکل های دائم بیشتر است.

۲.۳. شیار جای چرخ

این آزمایش توسط دستگاه شیار جای چرخ موجود در آزمایشگاه قیر و آسفالت این آزمایش داشگاه علم و صنعت ایران انجام شده است. برای هر نوع مخلوط سه نمونه های داشگاه در دستگاه قرار گرفت و توسط دو چرخ که حول مرکزشان دوران می کنند با فشار حود ۱۰ کیلوگرم بر سانتی متر مربع مورد بارگذاری قرار گرفتند. بسامد بارگذاری برای هر نمونه ۱ هرتز و دمای آزمایش ۵۰ درجه سانتی گراد است. در مجموع نمونه های تحت تنش ۸۰۰ سیکل بارگذاری قرار گرفتند و پس از آن بیشینهی عمق شیار به وجود آمد در هر نمونه اندازه گیری و میانگین سه نمونه به عنوان عمق شیار هر مخلوط به دست آمد.

۴. تحلیل نتایج آزمایش ها

۱.۴. نتایج آزمایش های قیر

با توجه به شکل ۱ مشاهده می شود که با افزایش درصد بتنویت، مقدار درجهی نفوذ کاهش یافته و مطابق شکل ۲ با افزایش درصد افزودنی بتنویت، نقطهی نرمی افزایش یافته است. در شکل ۳، با افزایش درصد افزودنی بتنویت، شکل پذیری کاهش یافته است که این می تواند ناشی از افزایش فاز جامد شکنندهی رس به فاز ارتجاعی لرج شکل پذیر قیر باشد. همچنین با دقت در شکل ۴ می توان دریافت که مقدار شاخص نفوذ قیر با افزودن بتنویت نسبت به قیر خالص کاهش و با افزودن

جدول ۵. نتایج آزمایش مارشال.

نوع نمونه	مخصوص	وزن	فضای خالی (%)	استقامت مارشال (KN)	روانی (mm)	نسبت مقاومت مارشال (kN/mm)	به روانی (mm)
بدون افزودنی		۴۱/۲	۳۵/۲	۴۷۵/۹	۱۲۵/۳	۳۲/۳	۰۳۲/۳
۱۰٪ بنتونیت		۳۱/۲	۵/۸۳	۳۰۵/۱۱	۴۶/۳	۲۷/۳	
۱۵٪ بنتونیت		۳۶/۲	۴/۶۷	۶۴/۱۱	۴۴۵/۳	۳۸/۳	
۲۰٪ بنتونیت		۳۷/۲	۴/۸۴	۰۱/۱۲	۰۷/۳	۹۱/۳	
۲۵٪ بنتونیت		۳۴/۲	۴/۰۹	۵۱/۱۰	۰۳۵/۳	۴۶/۳	
۳۰٪ بنتونیت		۳۲/۲	۴/۰۲	۴۹/۹	۷۲/۳	۵۵/۲	

۳.۲.۴. شیار جای چرخ

شکل ۷، نتایج مربوط به عمق شیار حاصله در آزمایش شیار جای چرخ را نشان می‌دهد. مشاهده می‌شود که نمونه‌های حاوی افزودنی بنتونیت، عمق شیار کمتری نسبت به نمونه‌های شاهد دارند که نشان دهنده اثر افزودنی‌ها در کاهش پتانسیل شیارشدنگی است. این اثر می‌تواند ناشی از بهبود تراکم و سختی قیر به خاطر خواص مولکولی این افزودنی‌ها باشد.

۵. نتیجه‌گیری

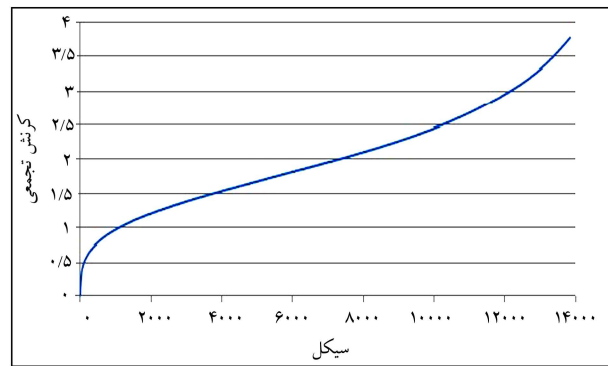
برای ارزیابی عملکرد شیارشدنگی مخلوط‌ها، آزمایش‌هایی نظری: استقامت مارشال، خرزش دینامیکی و شیار جای چرخ بر روی نمونه‌ها انجام شده است، که خلاصه‌یی از نتایج آن در این بخش ارائه شده است:

۱. به کارگیری افزودنی بنتونیت در نمونه‌های آسفالت گرم اثر قابل ملاحظه‌یی در استحکام مارشال این نوع مخلوط‌ها نسبت به مخلوط‌های آسفالتی گرم خالص داشته است. به طوری که با افزودن ۲۰٪ بنتونیت به قیر خالص ۷۰-۶۰، باعث افزایش ۲۰٪ در مقاومت مارشال شده است.

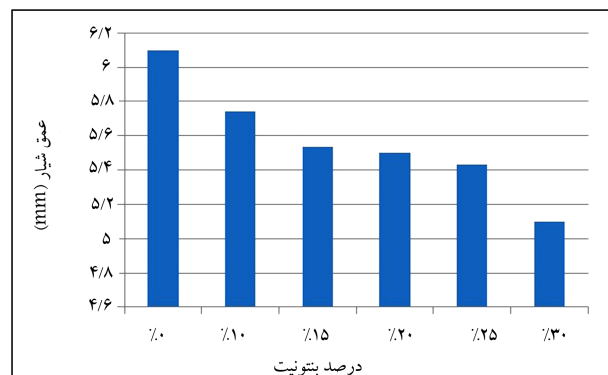
۲. در آزمایش خرزش دینامیکی، نمونه‌های ساخته شده با درصد‌های بیشتر بنتونیت شرایط بهتری تحمل نیروهای وارده و مقاومت در برابر شیارشدنگی از خود نشان داده‌اند. هر چند این آزمون جهت مقایسه بین نمونه‌های مختلف با درصد‌های مختلف اصلاح‌کننده‌ی بنتونیت است، زیرا شرایط مهار جانی که در واقعیت وجود دارد در آزمایش میسر نیست؛ لذا تغییر مکان‌های بیشتری در مقابله نیروی وارده از خود نشان می‌دهند. ولیکن با وجود این می‌توان نتیجه گرفت که افزودن بنتونیت باعث افزایش مقاومت در برابر شیارشدنگی می‌شود و می‌تواند جایگزین مناسبی برای اصلاح‌کننده‌های پلیمری (مانند EVA، SBS و...) و غیر پلیمری باشد.

۳. مقایسه‌ی مقدار شیارشدنگی مخلوط حاوی افزودنی با مخلوط گرم معمولی نشان می‌دهد که بنتونیت موجب افزایش مقاومت در برابر شیارشدنگی می‌شود.

۴. مقدار عدد روانی نمونه‌های حاوی افزودنی که از آزمایش خرزش دینامیکی به دست آمده است، نشان می‌دهد که عملکرد شیارشدنگی مخلوط‌های آسفالتی حاوی افزودنی از مخلوط‌های آسفالتی کنترلی بهتر است.



شکل ۶. نمونه‌یی از خروجی دستگاه UTM برای کرنش تجمعی در برابر تعداد سیکل در آزمایش خرزش دینامیکی.



شکل ۷. نمودار نتایج مربوط به آزمایش شیار چرخ در دمای ۵۰°C.

مطابق شکل ۵ مشاهده می‌شود که مخلوط‌های آسفالتی حاوی افزودنی، عدد روانی بیشتری نسبت به مخلوط‌های آسفالتی معمولی دارند. به طوری که با افزایش درصد افزودنی از ۱۰ به ۳۰، عدد روانی از ۳۳۰۰ به ۴۳۰۰ افزایش یافته است. در واقع با اینکه نمونه‌های حاوی بنتونیت عدد روانی بیشتری نسبت به مخلوط آسفالتی معمولی داشته‌اند، کرنش‌های تجمعی بیشتری نیز داشته‌اند. نمونه‌یی از خروجی دستگاه که به صورت کرنش تجمعی است، در شکل ۶ نشان داده شده است.

پانوشت‌ها

1. Nanoclay
2. Montmorillonite
3. Rheological
4. organically modified Bentonite
5. bending beam Rheometer
6. rolling thin film oven
7. pressure aging vessel
8. sodium Bentonite
9. density
10. stability
11. flow
12. universal testing machine

منابع (References)

1. Chen, H., Xu, Q., Chen, S. and Zhang, Z. "Evaluation and design of fiber-reinforced asphalt mixtures", *Materials and Design*, **30**(7), pp. 2595-2603 (2009).
2. Hejazi, S.M., Sheikh Zadeh, M., Abtahi, S.M. and Semnani, D. "Evaluation of various textiles for mechanical enforcement of asphalt concrete and using a neural network to analysis the results", Tehran, 4th Iranian National Congress on Civil Engineering (2008).
3. You, Z., Mills-Beale, J., Foley, J.M., Roy, S., Odegard, G.M., Dai, Q. and Goh, S.W. "Nanoclay-modified asphalt materials: Preparation and characterization", *Construction and Building Materials*, **25**(2), pp. 1072-1078 (2011).
4. Ghaffarpour Jahromi, S. and Khodaii, A. "Effects of nanoclay on rheological properties of bitumen binder", *Construction and Building Materials*, **23**(8), pp. 2894-2904 (2009).
5. Ghile, D.B. "Effects of nanoclay modification on rheology of bitumen and on performance of asphalt mixtures", Delft University of Technology, Msc Thesis TU Delft (2005).
6. Sadeghpour Galooyak, S., Dabir, B., Nazarbeygi, A.E. and Moeini, A.R. "Rheological properties and storage stability of bitumen/SBS/montmorillonite composites", *Construction and Building Materials*, **24**(3), pp. 300-307 (2010).
7. Zare-Shahabadi, A., Shokuhfar, A. and Ebrahimi-Nejad, S. "Preparation and rheological characterization of asphalt binders reinforced with layered silicate nanoparticles", *Construction and Building Materials*, **24**(7), pp. 1239-1244 (2010).
8. Yu, J., Feng, P., Zhang, H. and Wu, S. "Effect of organo-montmorillonite on aging properties of asphalt", *Constr. Build. Mater.*, **23**(7), pp. 2636-2640 (2009).
9. Kojima, Y., Usuki, A., Kawasumi, M., Okada, A., Fukushima, Y., Kurauchi, T. and et al. "Sorption of water in nylon 6-clay hybrid", *J. Appl. Polym. Sci.*, **49**(7), pp. 1259-1264 (1993).
10. Chen-Yang, Y.W., Lee, Y.K., Chen, Y.T. and Wu, J.C. "High improvement in the properties of exfoliated PU/clay nanocomposites by the alternative swelling process", *Polymer*, **48**(10), pp. 2969-2979 (2007).
11. Suguna Lakshmi, M., Narmadha, B. and Reddy, B.S.R. "Enhanced thermal stability and structural characteristics of different MMT-clay/epoxy-nanocomposite materials", *Polym Degrad Stabil*, **93**(1), pp. 201-213 (2008).
12. Hamidi, Yaser, Saafi, A. and Tahmooresi, M. "The effect of bentonite on rubberized asphalt", 12Th National Congress of Chemical Engineering (1387).
13. *Iranian Pavement Roads Standard*, Code Number 234, Tehran, IRAN: Presidential Programming Organization (2011).
14. Ziari, H., Tabatabaei, S.A. and Khabiri, M.M. "Applicable guide for asphalt and bitumen tests", Tehran, IRAN: Iran University of Science and Technology (2006).
15. Garcia Lopez, D., Gobernado Mitre, I., Fernandez, J., Merino, J. and Pastor, J. "Influence of clay modification process in PA6-layered silicate nanocomposite properties", *Polymer*, **46**(8), pp. 2758-2765
16. Tayfur, S., Ozen, H. and Aksoy, A. "Investigation of rutting performance of asphalt mixtures containing polymer modifiers", *Construction and Building Materials*, **21**(2), pp. 328-337 (2007).
17. National Cooperative Highway Research Program, *Simple Performance Test for Superpave Mix Design*, Report 465 (2002). (2005).